

可變周波數에 있어서 誘導電動機特性의 圖試算定法에 關한 研究 (第 2 報)

論文
13~4~3

A Study of the Current-Diagram Method for Calculating Induction Motor Characteristics with Adjustable Frequency

朴 晏 鑄*
(Min Ho Park)

[ABSTRACT]

The development of the frequency converters using semiconductors devices makes it possible to control the speed of A.C. motors easily. It is now economically feasible to provide them with power at adjustable frequency using silicon-controlled rectifier (or thyristor) inverters.¹⁾ In such a case, in order to operate an induction motor efficiently over a wide speed range, it must be supplied from a variable frequency source of which frequency is adjustable over the speed range of the motor. It is desired to observe the changes in characteristics as primary current, torque-speed of induction motor etc. at any optional frequency. Although the characteristics can be obtained by means of the conventional methods, they require very complicated procedures of calculations.²⁾ The Current Diagram Method in this paper suggests a new approach to simpler calculations of the characteristics, using the motor constants at reference frequency. The conclusions of this study are summarized as follows:

- (1) The equations of stator current at adjusted frequency were derived to construct graphical chart and the current circle required for the Current Diagram Method.
- (2) The radius, center of the current circle and the vector locus, the basis for calculating the characteristics, at any desired frequency could be easily determined with the aid of both the derived graphical chart and current circle at reference frequency.
- (3) The method was shown to be applicable to the various types of 3-phase induction motors and also dealt with its application to the split-phase, condenser motors.

I. 緒論

本論文은 3相誘導電動機의 特性算定法³⁾에 잇따라 單相誘導電動機의 경우의 特性算定法을 論하고자 한다.

위서 3相電動機의 경우 記述한 可變周波數에서의 電流線圖의 理論을 基礎로 하여 電流 Vector의 圖表를 作成하고, 이 圖表에 單相誘導電動機의 圓線圖를 適用시키고 可變周波數에 따르는 特性算定과 實驗值를 비교검토한다.

II. 電流比의 Vector 圖表

第(24)³⁾式에서 표시된 電流係數의 一般型은 $(r_a+r_b/s) + j(x_a+x_b)/\lambda - (r_a+r_b/s) + j(x_a+x_b)$ 이고, 다음과 같

이 表示하면

$$\frac{K_1 e^{j\theta_1}}{K_\lambda e^{j\theta_\lambda}} = \frac{1+j[(x_a+x_b)/(r_a+r_b/s)]}{1/\lambda - [(x_a+x_b)/(r_a+r_b/s)]} \quad (1)$$

이 되고, 여기서 $r_a+r_b/s \neq 0$

$$K_1 = \sqrt{1 + \left(\frac{x_a+x_b}{r_a+r_b/s}\right)^2}, \quad \theta_1 = \tan^{-1}(x_a+x_b)/(r_a/s) \quad (1)$$

$$K_\lambda = \sqrt{\frac{1}{\lambda} + \left(\frac{x_a+x_b}{r_a+r_b/s}\right)^2}, \quad \theta_\lambda = \tan^{-1}\lambda(x_a+x_b)/(r_a+r_b/s) \quad (2)$$

이다.

一般的으로 $1/(oc+d)$ 의 빅터 軌跡은 圓이고, 이 圓의

$$\text{中心: } \frac{c_k}{cd_k - cd_k} \quad (3)$$

$$\text{半徑: } \left| \frac{c}{cd_k - cd_k} \right|$$

이 表示되고, 여기서 c_k, d_k 는 c, d 빅터의 共轭(conju-

*正會員：서울大學校 工科大學 電氣工學科 教授

gation)이다. 第(1)式의 $1/(K_{\lambda s} e^{j\theta\lambda})$ 는 $c=c_k=1$, $\sigma=-\frac{1}{\lambda}$, $d=j(x_a+x_b)/(r_a+r_b/s)$, $d_k=-j(x_a+x_b)/(r_a+r_b/s)$ 이므로, 이것은

$$\text{中心: } -j\frac{1}{2}\left(\frac{r_a+r_b/s}{x_a+x_b}\right)$$

$$\text{半徑: } \frac{1}{2}\left(\frac{r_a+r_b/s}{x_a+x_b}\right)$$

인 원이 된다. s 의 변화에 따라 第(1)圖에 표시한 바와 같이 y 軸上에 중심을 가지는 원群을構成하고, 각원은一定 슬립값을表示한다.

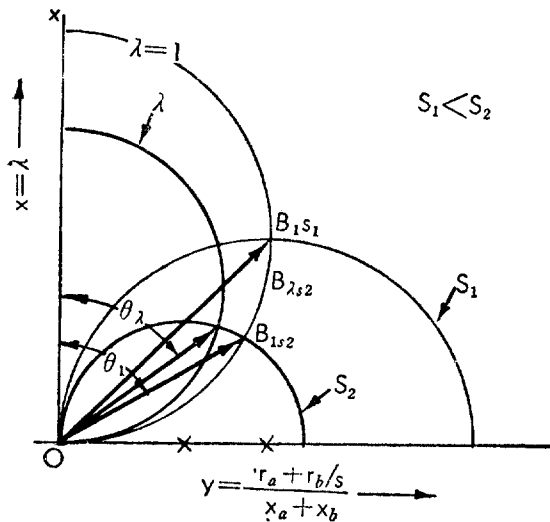


Fig. 1. The circle of constant λ and s of which are to be superposed of $1/K_{\lambda s} e^{j\theta\lambda}$ on the coordinate.

다음 이 원周上의 λ 值는

$$\lambda c = j \frac{x_a + x_b}{r_a + r_b/s},$$

$$\lambda c_k = -j \frac{x_a + x_b}{r_a + r_b/s},$$

$$d = d_k = \frac{1}{\lambda}$$

를 第(3)式에 代入하면

$$\text{中心: } \frac{\lambda}{2}$$

$$\text{半徑: } \frac{\lambda}{2}$$

이 되고, 第(1)圖의 x 軸上에 중심을 가지는 원群이 되고, 각원은一定 λ 이 된다.

이 λ 와 s 가 $1/(K_{\lambda s} e^{j\theta\lambda})$ 를 滿足하는點은 $B_{1s_1}, B_{1s_2}, B_{1s_3}, \dots$, 이고, 이것을 第(1)圖에 表示하였다.

第(1)式은 이 그림의 座標를 $K_{\lambda s} e^{j\theta\lambda}$ 로 乘하면 OB_{1s} ,

$OB_{1s_2}, OB_{1s_3}, \dots$ 의 벡터는 $(K_{\lambda s} / K_{\lambda s}) e^{j(\theta\lambda - \delta\lambda)s}$ 되고, $B_{1s}, B_{1s_2}, \dots, B_{1s_3}$ 點은 $\lambda=1$ 인 경우이고 이 값은 1이 된다. 이것들은同一 슬립에서 $\lambda \neq 1$ 인 모든點의 벡터에對한 基漸 벡터가 된다.

이關係는 3相, 單相, 分相型의 어떠한 誘導電動機에도 適用될 수 있으므로, 이 그림을一般化하여 第(2)圖와 같이 圖表로 表示하였다. 여기서 슬립 s 대신 $(r_a + r_b/s)/(x_a + x_b)$ 值로 表示하고, s 의 換算值은

$$y = \frac{r_a + r_b/s}{x_a + x_b} \quad (4)$$

이고, $s=1, s=\infty$ 의 슬립線值는 第(4)式에서

$$y_{s=\infty} = -\frac{r_a}{x_a + x_b} \quad (5)$$

$$y_{s=1} = -\frac{r_a + r_b}{x_a + x_b} \quad (6)$$

이 된다.

第(24)⁽³⁾式의 第一項의 無負荷電流의 係數值를 第(2)圖의 圖表上에서 求하려면, $r_a=r_1, r_b=r_m, x_a=x_1, x_b=x_m$, 그리고 $s=1$ 로 하고 第(4)式에 代入하여, y 值를決定하고, y 를 直徑으로 그린 圓周上의 λ 點이 이에의 係數值이다. 第 2 項의 回轉子 電流 係數도 이와 같은 方法으로 求할수 있다. 이 圖表의 λ 와 s 圓群과의 交點은 $(1/K_{\lambda s}) e^{-j\theta\lambda}$ 로도 表示되고, $\lambda=1$ 의 경우는 $(1/K_{1s}) e^{-j\theta 1}$ 이 된다. 그러므로 $\lambda=1$ 의 圆周上의 모든點은 基漸周波數일때의 슬립의 軌跡이므로, 圖表上에서 $s=\infty, s=1$ 과 $\lambda=1$ 의 圆과의 交點 E, F 를 x 軸上의 $\lambda=1$ 의 点 J 에 連結하고, 一般圓線圖와 같이⁽⁴⁾⁽⁵⁾ $\lambda=1$ 의 圆에對한 슬립線 HG 를 作圖하고 G 를 零, H 를 100%로 눈금을記入하고, 이 슬립值를 J 에 連結한 直線과, $\lambda=1$ 의 圆과의 交點을 通過하는 圓이 一定 슬립線의 値이 된다.

III. 可變周波數에서의 圓線圖와 特性 算定方法

III-1. 電流係數 圖表와 基準周波數 時의 圓線圖와의 關係

第(4)圖의 精密 等價回路에서 $\lambda=1$ 의 電流 圓線圖는 無負荷試驗, 拘束試驗에서 第(7)式, 第(8)式이 用이 진다.

$$\begin{aligned} \vec{O_1}0 &= (I_{11})_{s=0} = \frac{A_1}{C_1} V_{11} \\ &= \left| \frac{V_{11}}{Z_{11} + Z_{m1}} \right| e^{j(\frac{\pi}{2} - \theta_{1+m})} \end{aligned} \quad (7)$$

$$\begin{aligned} \vec{O_1}P_{11} &= \frac{A_1 + sB_1}{C_1 + sD_1} V_{11} = \frac{A_1}{C_1} V_{11} + \frac{s(B_1 C_1 - A_1 D_1)}{C_1(C_1 + sD_1)} V_{11} \\ &= \left| \frac{V_{11}}{Z_{11} + Z_{m1}} \right| e^{j(\frac{\pi}{2} - \theta_{1+m})} \end{aligned}$$

$$\begin{aligned} &+ \frac{|V_{11}(Z_{m1}/(Z_{11} + Z_{m1}))|^2 |e^{j(\frac{\pi}{2} + 2(\theta_m - \theta_1 + m))}|}{\{(1-s)/s\} r'_2 + |Z'_2| e^{j\theta 21} + |Z_{11} Z_{m1}/(Z_{11} + Z_{m1})|} \\ &\frac{-\frac{\pi}{2} - 2(\theta_m - \theta_1 + m)}{e^{j(\theta 11 + \theta m1) - \theta 1 + m}} \end{aligned} \quad (8)$$

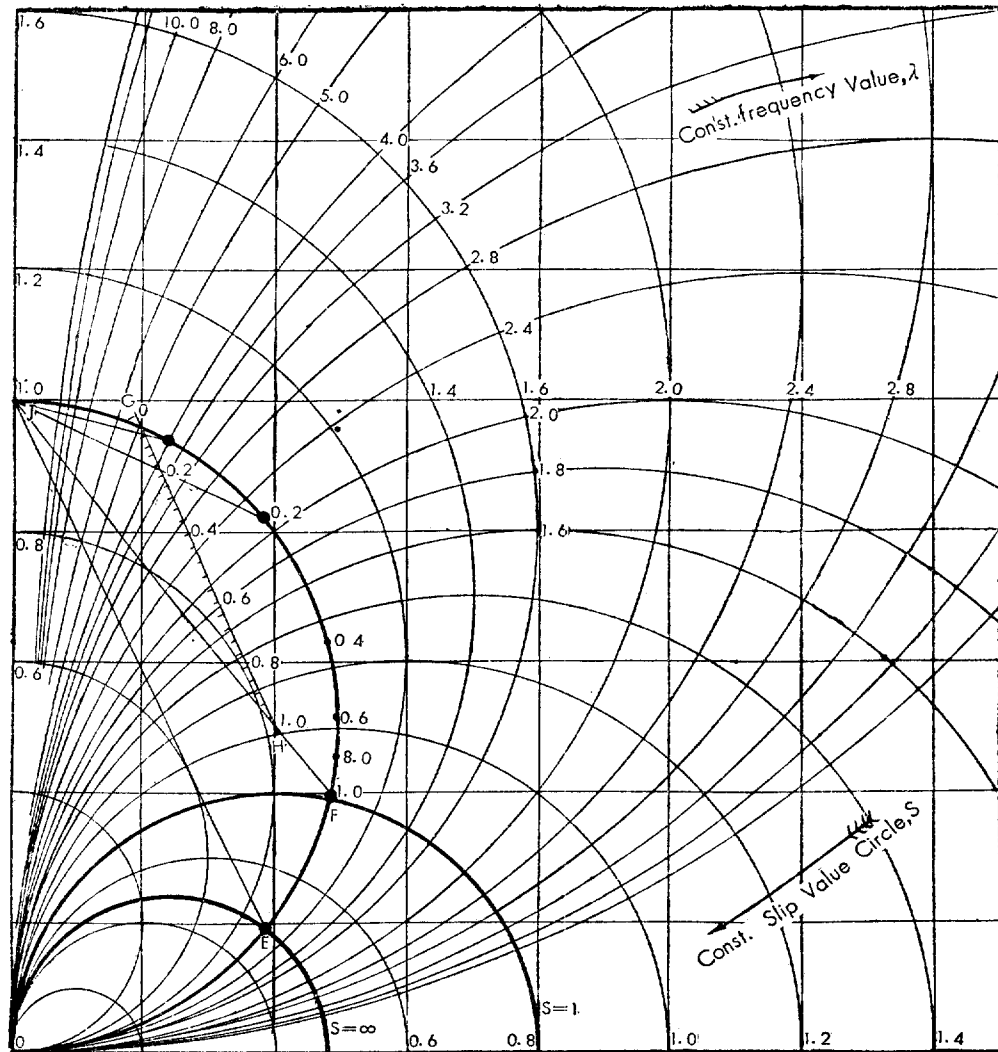


Fig. 2. The chart of constant λ and s of $\frac{K_1 e^{j\theta_1}}{K_\lambda e^{j\theta_\lambda}}$ which are to be superposed on the coordinate.

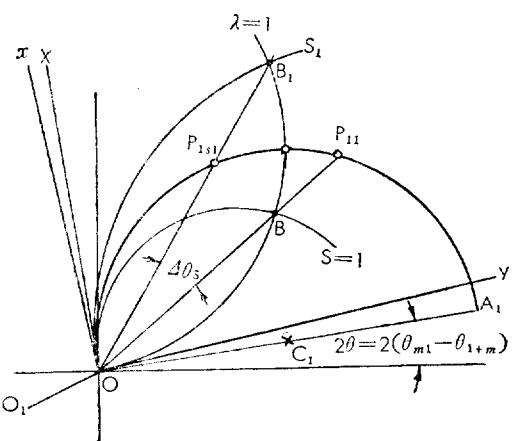


Fig. 3. Superposing the chart and reference circle diagram.

KS 曲法⁽⁶⁾에 따라 第(3)圖에 먼저 O 와 P_{11} 點을 求하고, 傾斜角 $2(\theta_{m1} - \theta_{1+m})$ 되는 OA_1 線上에 OP_{11} 의 垂直二等分線과의 交點 C_1 을 中心으로 하고, OC_1 을 半徑으로 하는 圓을 構成한다.

本文에 설명한 电流係數 圖表의 $\lambda=1$, $s=1$ 의 交點과 O 點을 連結한 直線 OB를 第(3)圖와 같이 基準圓線圖의 OP_{11} 과 一致시킨다. 그리고 任意의 슬립 s_1 과 $\lambda=1$ 의 交點 B_1 에 의한 直線 OB_1 과 电流圖線과의 交點을 P_{1s1} , OB 사이의 角을 $\Delta\theta_s$ 이라 하고, OP, OB의 位相關係를 알기 위해 다음과 같은 過程을 생자 한다.

第(2)圖와 第(1)式에서 ox 軸에 대한 角度 θ_s 는 $|OB| e^{-js} = 1/K e^{-j\theta_s}$ 로 表示되고, 슬립에 의한 角變化는 다음과 같다.

$$|\frac{1}{OB}| s e^{j\theta_s} = K_1 e^{j\theta_s} = 1 + j \frac{x_1 + x'_1}{r_1 + r'_1 / s}$$

$$= \frac{1}{r_1 + r'_2/s} [(r_1 + jx_1) + \frac{1-s}{s} r'_2 + (r'_2 + jx'_2)] \\ = \frac{1}{r_1 + r'_2/s} [|Z_{11}| e^{j\theta_{11}} + |Z'| s e^{j\theta_{2s}}]$$

여기서

$$|Z_{11}| e^{j\theta_{11}} = r_1 + jx_1 \\ |Z'| s e^{j\theta_{2s}} = \left(\frac{1-s}{s} \right) r'_2 + (r'_2 + jx'_2)$$

 $s=1$ 일 때

$$\left| \frac{1}{OB} \right|_{s=1} e^{j\theta_{11}} = \frac{1}{r_1 + r'_2} [|Z_{11}| e^{j\theta_{11}} + |Z'| s e^{j\theta_{21}}]$$

 $s=s_1$ 일 때

$$\left| \frac{1}{OB} \right|_{s=s_1} e^{j\theta_{11}} = \frac{1}{r_1 + r'_2/s_1} [|Z_{11}| e^{j\theta_{11}} + |Z'| s_{s_1} e^{j\theta_{21}}]$$

이 고, 角度의 變化 $\Delta\theta_{11}$ 는

$$\left| \frac{1}{\Delta OB} \right| e^{j\Delta\theta_{11}} = \left| \frac{1}{OB} \right|_{s=s_1} e^{j\theta_{11}} - \left| \frac{1}{OB} \right|_{s=1} e^{j\theta_{11}} \\ = \frac{1}{r_1 + r'_2/s_1} |Z'| s_{s_1} e^{j\theta_{21}} - \frac{1}{r_1 + r'_2} |Z'| s e^{j\theta_{21}} \quad (9)$$

로 表示할 수 있다.

또 C_1 圓의 直徑 OA_1 의 O 에서의 垂直線 OX 에 對한 電流의 位相은 第(7)式에서

$$\vec{OP}_1 = \frac{|V_{11}| |Z_{m1}| / (Z_{11} + Z_{m1})|^2 e^{j\left(\frac{\pi}{2} + 2(\theta_{m1} - \theta_{1+m})\right)}}{|Z'| s e^{j\theta_{2s}} + |Z_{11} Z_{m1}| / (Z_{11} + Z_{m1})| e^{j(\theta_{11} + \theta_{m1} - \theta_{1+m})}}$$

이 되고

 $s=1$ 일 때

$$\left| \frac{1}{OP_{1x}} \right| e^{-j\theta_{11}} = \frac{e^{-j\left[\frac{\pi}{2} + 2(\theta_{m1} - \theta_{1+m})\right]}}{|V_{11}| |Z_{m1}| / (Z_{11} + Z_{m1})|^2} \\ - \left[|Z'| s e^{j\theta_{2s}} + \left| \frac{Z_{11} Z_{m1}}{Z_{11} + Z_{m1}} \right| e^{j(\theta_{11} + \theta_{m1} - \theta_{1+m})} \right]$$

 $s=x$ 일 때

$$\left| \frac{1}{OP_{1x}} \right| x e^{-j\theta_{11}} = \frac{e^{-j\left(\frac{\pi}{2} + 2(\theta_{m1} - \theta_{1+m})\right)}}{|V_{11}| |Z_{m1}| / (Z_{11} + Z_{m1})|^2} \\ - \left[|Z'| x e^{j\theta_{2s}} + \left| \frac{Z_{11} Z_{m1}}{Z_{11} + Z_{m1}} \right| e^{j(\theta_{11} + \theta_{m1} - \theta_{1+m})} \right]$$

이 되고, 따라서 角變化는 다음과 같다.

$$\left| \frac{1}{\Delta OP} \right| e^{-j\Delta\theta_{11}} = \frac{e^{-j\left(\frac{\pi}{2} + 2(\theta_{m1} - \theta_{1+m})\right)}}{|V_{11}| |Z_{m1}| / (Z_{11} + Z_{m1})|^2} \\ - \left(|Z'| x e^{j\theta_{2s}} - |Z'| s e^{j\theta_{21}} \right) \quad (10)$$

第(9)式, 第(10)式에서 $\Delta\theta_{11}$ (作圖에 의해)로 하였으므로 $\theta_{2s} = \theta_{2s_1}$ 이 되어야 한다. 즉 OB_1 의 基準圓線圖와의 交點 P_{1s_1} 는 圓周上에서 슬립 s_1 의 動作點이 된다. 따라서 圖表上의 $\lambda=1$ 과 모든 s 에 의해決定된 直線의 圓線圖上の 交點은 基準周波數 일때의 슬립值가 되고, 回轉子電流의 벡터頂點이 된다. 또 위의 式들에서 電流係

數圖表의 OB 直線의 y 軸에 대한 角度 $(\pi/2 - \theta_1)$ 는 電流 圓線圖의 OP_{11} 의 OA_1 과의 角度보다 $\theta = \theta_{m1} - \theta_{1+m}$ 만큼 작다(第(6)式 參照). 따라서 y 軸은 OA_1 軸보다 θ 만큼 앞서게 된다. $\lambda=1$ 에서의 모든 슬립에 의해決定되는 圓周上의 슬립值는 第(2)圖에서 表示하는 $\epsilon_{g\lambda}$ 誤差를 包含하게 된다.

이상과 같은 關係에서 다음順序에 따라 圖式算定의 可變周波數 電流 圓線圖가 作成된다.

(1) 基準周波數에 대한 圓線圖를 第(7), (8)式에 의해作成한다.

(2) 電流 係數圖表上에 求하고자 하는 周波數에 대한 λ 圓을 그린다.

(3) 一定 슬립線에서 $s \rightarrow 1, s = \infty$ 的 圓을 第(5), (6)式에 의해 求하고, $\lambda=1$ 의 圓周上에 모든 一定 슬립線值를 求한다(Fig. 2).

(4) $\lambda=1$ 의 圓에 있어 $s=1$ 에의한 交點과 原點 0를連結하는 直線을 (1)의 $s=1$ 일 때의 回轉子電流 벡터와 $s=0$ 點을 中心으로 重疊시킨다.

(5) 圖表의 y 軸과 O_1 座標 사이의 角을 3θ 라고 하면 y 軸과 OA_1 사이의 角은 θ 가 된다.

(6) OP_{11} 의 垂直 2等分線이 OA_1 과의 交點을 C_1, OC_1 을 半徑으로 C_1 圓을構成한다.

(7) 無負荷電流는 定數에 해당되는 y 值가決定되면 第3象限에 圓이構成되고, 이위에 λ 值에 해당되는 無負荷電流가決定된다.

III-2 回轉子側의 特性算定法

第(4)圖는 回轉子側의 線圖만을 表示하였다. C_1 圓은 基準周波數의 電流軌跡圓이다. O 에서 一定 슬립 s_1 圓과 $\lambda=1, \lambda=\lambda_1$ 과의 交點 B_1, B_λ 를 連結하는 直線이 C_1 圓에서의 交點을 $P_{1s_1}, P_{\lambda s_1}$ 라고 하면

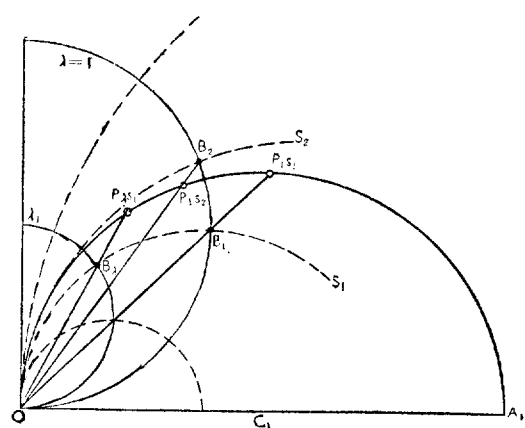


Fig. 4. Current diagram on the rotor side for calculation of characteristics

$$\begin{aligned}\frac{\vec{OP}_{\lambda s_1}}{\vec{OP}_{1s_1}} &= \frac{\vec{OB}_\lambda}{\vec{OB}_1} = \frac{(r_1 + \frac{r_2}{s}) + j(x_1 + x_2')}{\frac{\lambda}{r}(r_1 + \frac{r_2}{s}) + j(x_1 + x_2')} \\ \vec{OP}_{\lambda s_1} &= \frac{r_1 + \frac{r_2}{s} + j(x_1 + x_2')}{\frac{\lambda}{r}(r_1 + \frac{r_2}{s}) + j(x_1 + x_2')} \times \vec{OP}_{1s_1} \quad (11)\end{aligned}$$

이 된다. 第(11)式에서 $\vec{OP}_{\lambda s_1} = (I_{21})_{s_1} \vec{OP}_{\lambda s_1} = (I_{21}')_{s_1}$, 이 된다. 이것은 슬립 s_1 에서의 周波數可變에 따르는 電流를 電流軌跡圓上에 表示한 것이다. 또한 O 에서 모든 交點을 連結한 直線의 圓 C_1 과의 交點은 λ, s 를 滿足하는 實際의 電流가 된다. 즉 이 基準 圓線圖上에 $(I_{21}')_{s_1}$ 의 値을 求할 수 있으므로, 從來의 圓線圖 使用과 同一方法으로 回轉子側 特性인 回轉子電流, 出力, 토오크, 銅損 및 速度等이 算定된다.

(1) 同一슬립일때의 特性：基準周波數와 可變周波要 일때의 同一 슬립下에서의 回轉子側 特性를 比較하면 다음과 같다.

$\lambda=1$ 일때 토오크는

$$T_1 = -\frac{1}{\omega_1} |I_{21}'|^2 \frac{r_2'}{s} (N \cdot m/\text{phase})$$

λ 일때 토오크는

$$T_\lambda = -\frac{1}{\lambda \omega_1} |I_{2\lambda}'|^2 \frac{r_2'}{s} (N \cdot m/\text{phase})$$

이고, 여기서 ω_1 는 $\lambda=1$ 의 同期 角速度이다. 토오크比는

$$\left(\frac{T_\lambda}{T_1}\right)^s = \left(\left|\frac{I_{2\lambda}'}{I_{21}'}\right|^2\right)_s \frac{1}{\lambda} \quad (12)$$

또 出力의 比는 같은 方法으로

$$\left(\frac{P_{k\lambda}}{P_{k1}}\right)^s = \left(\left|\frac{I_{2\lambda}'}{I_{21}'}\right|^2\right)_s \quad (13)$$

이고, 第(12), (13)式은 電流比 $(I_{2\lambda}'/I_{21}')$ 와 λ 의函數로 되어 있으므로, 圖表上에서比較的簡単に求할 수 있다.

(2) 一定 및 最大 토오크：電動機 制御 應用에서 토오크 特性은 重要한 要素이므로 여기서 一定토오크와 最大 토오크를 表示하는 λ, s 를 圖示하면 다음과 같다.

一定 토오크, 슬립 $s=\infty$ 의 線과 電流 線圖의 OX 軸 方向間의 距離 PH 가 第(5)圖에서 토오크를 表示하고

$$T = -\frac{m_1 V_{12}}{\lambda \omega_1} \times PH = -\frac{m_1 V_{11}}{\omega_1} \times PH (N \cdot m) \quad (14)$$

의 値은 PH 에 의해 決定된다. PH 가 一定이 되는 H 의 軌跡은 C_1 의 垂直線 上에 $PH=C_1C_T$ 의 C_T 를 中心으로 OC_1 을 半徑으로 하는 圓點線 GHI 이고, O 와 $s=\infty$ 圓과 그리고 이 圓線圖에 의해 一定토오크를 나타내는 λ, s 를 求할 수 있다.

最大 토오크, λ_1 일때의 最大 토오크는, 第(5)圖에서

C_1 에 있어 $OP_{\lambda s_1}$ 에 내린 垂線과 C_1 圓과의 交點 P_m 에서 OA_1 에 나린 垂線의 $OP_{\lambda s_1}$ 間의 距離, P_mH_m 이다.

P_m 는 OP_m 를 連結한 線과 λ_1 의 交點 E 와 이것을 通過하는 슬립線에 의해 決定된다. 이以外의 周波數에 對한 最大 토오크値는 $\angle OFC_1 = 90^\circ$ 이므로, 圓周 $OF C_1$ 과 周波數에 따르는 $OP_{\lambda s_1}$ 의 交點을 C_1 에서 通過하는 直線의 電流圓線上의 値가 각周波數에 따르는 最大 토오크의 動作點이 되고, 이들의 슬립률 λ_i 의 경우와 같이 求할 수 있다. 그러므로 여기서 OC_1 을 直徑으로 하는 圓周 $OF C_1$ 이 最大 토오크를 決定하는 圓이 된다.

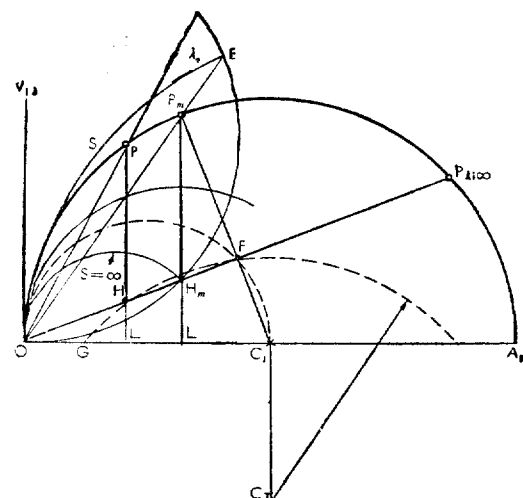


Fig. 5. Constant & maximum torque values on the circle diagram of the rotor side

III-3. 固定子側의 電壓, 電流의 位相線圖

無負荷電流는 前에 說明한 바와 같이 圖表에서 $x_a + x_b = x_1 + x_m$, $r_a + r_b = r_1 + r_m$, $s=1$ 의 曲線과 λ 圓과의 交點을 第(6)圖와 같이 表示하고, O_1, O_2, \dots , 이라고 하면,

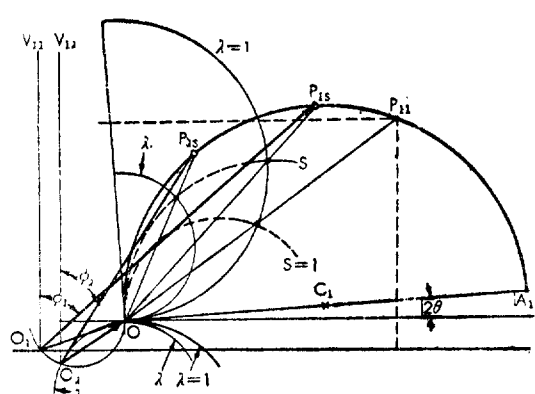


Fig. 6 Voltage and current diagram with λ and s .

$O_A P_\lambda$ 빡터는 $(I_{1\lambda})_s$ 를 表示하고 $(I_{1\lambda})_s = \vec{O}_\lambda O + \vec{O} P_\lambda$ 가 된다. 또 O_1, O_λ 에서의 座標軸 $V_{11}, V_{1\lambda}$ 와 $(I_{1\lambda})_s$ 와의 角 ϕ_1, ϕ_λ 는 力率角이 된다. 이 位相 線圖에서 固定子 側의 特性 즉 固定子電流, 入力, 力率, 그리고 効率이 求해진다.

IV. 非對稱 2相 誘導電動機의 電流式

單相 誘導電動機, 즉 分相型 誘導電動機의 電流式은 이미 여러 가지 文獻⁽⁷⁾에서 發表되었다. 本文에서는 이를 再 整理하여 可變周波數에 利用할 수 있는 形態로 誘導한다.

第(7)圖의 非對稱 2相 電動機回路를 正相, 逆相으로 分離하여 생각하면 다음과 같다. 分相卷線 A 및 回轉子 卷線을 主卷線 M 에 換算하고, 卷線比를

$$\frac{N_A K_{wA}}{N_M K_{wM}} = a \quad (14)$$

라 하면, A 卷線 回路의 電壓, 電流, 임피이던스의 主卷線 換算值는 $V_A/a, Z_A/a^2$, 및 aIA 가 된다.

主卷線 側에서 본 回路 電壓方程式은

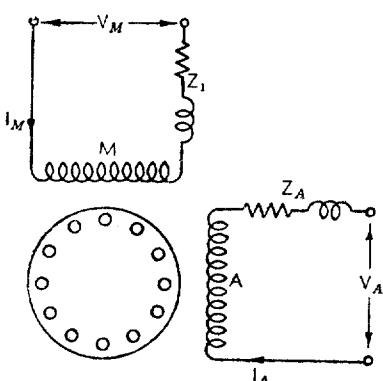


Fig. 7. Two-phase induction motor with unbalanced stator circuits.

$$\left. \begin{aligned} V_M &= I_P(Z_1 + Z_{rf}) + I_N(Z_1 + Z_{rb}) \\ -j \frac{V_A}{a} &= I_P\left(\frac{Z_A}{a^2} + Z_{rf}\right) - I_N\left(\frac{Z_A}{a^2} + Z_{rb}\right) \end{aligned} \right\} \quad (15)$$

이고, 여기서 正相, 逆相分 電流는 다음과 같다.

$$\left. \begin{aligned} I_P &= \frac{1}{2}(I_M - j_a I_A) \\ I_N &= \frac{1}{2}(I_M + j_a I_A) \end{aligned} \right\} \quad (16)$$

第(15)式에서

$$\left. \begin{aligned} -\frac{1}{2}\left(V_M - j \frac{V_A}{a}\right) &= I_P\left(\frac{Z_A/a^2 - Z_1}{2} + Z_P\right) \\ -I_N\left(\frac{Z_A/a^2 - Z_1}{2}\right) \end{aligned} \right\} \quad (17)$$

$$\left. \begin{aligned} -\frac{1}{2}\left(V_M + j \frac{V_A}{a}\right) &= -I_P\left(\frac{Z_A/a^2 - Z_1}{2}\right) \\ + I_N\left(\frac{Z_A/a^2 - Z_1}{2} + Z_N\right) \end{aligned} \right\} \quad (18)$$

가 얻어지고, 第(17)式, 第(18)式로 부터 正相分, 逆相分 電壓은 다음과 같다.

$$\left. \begin{aligned} V_P &= -\frac{1}{2}\left(V_M - j \frac{V_A}{a}\right) \\ V_N &= -\frac{1}{2}\left(V_M + j \frac{V_A}{a}\right) \end{aligned} \right\} \quad (19)$$

正相, 逆相分 임피이던스는

$$\left. \begin{aligned} Z_P &= Z_1 + Z_{rf} \\ Z_N &= Z_1 + Z_{rb} \end{aligned} \right\} \quad (20)$$

이고, Z_{rf}, Z_{rb} 는 回轉子 回路의 正方向 및 逆方向 回轉時의 固定子 換算 임피이던스이다.

$$Z_d = \left(\frac{Z_A}{a^2} - Z_1 \right) \quad (21)$$

이라 놓으면, 第(17)式, 第(18)式은

$$V_P = I_P \left(\frac{Z_d}{2} + Z_P \right) - I_N \frac{Z_d}{2} \quad (22)$$

$$V_N = -I_P \frac{Z_d}{2} + I_N \left(\frac{Z_d}{2} + Z_N \right) \quad (23)$$

第(22)式, 第(23)式에서 다음 式이 얻어진다.

$$I_P = \frac{V_P(Z_d + 2Z_N) + V_N Z_d}{Z_d(Z_P + Z_N) + 2Z_P Z_N} \quad (24)$$

$$I_N = \frac{V_N(Z_d + 2Z_P) + V_P Z_d}{Z_d(Z_P + Z_N) + 2Z_P Z_N} \quad (25)$$

第(24)式, 第(25)式은 非對稱 2相 電動機의 正相逆相分의 電流式이고, Z_d 에 의해 電動機의 名稱이決定된다.

V. 純單相 誘導電動機

V-1 特性圖式算定의 理論的 考察⁽⁸⁾

純單相 誘導電動機라 함은 起動時는 分相型으로 되고 運轉��에는 主卷線 M 만으로 運轉되는 電動機를 意味하며, 運轉時의 條件은 $V_M = V_1, V_A = 0, Z_d \rightarrow \infty$ 이므로 第(19)式에서

$$V_P = V_N = \frac{1}{2}V_1 \quad (26)$$

과 第(24)式 第(25)式에서

$$I_P = I_N = \frac{V_1}{Z_P + Z_N} \quad (27)$$

의 關係가 成立하므로, 可變周波數에 따르는 線電流 $I_{1\lambda}$ 는 第(16)式에 의하여,

$$I_{1\lambda} = I_{P\lambda} + I_{N\lambda} = 2 \frac{V_1}{Z_{P\lambda} + Z_{N\lambda}} \quad (28)$$

와 같이 表示된다. 따라서, $I_{P\lambda} = I_{N\lambda} = I_{1\lambda}/2$ 이고, 添字 λ 는 λ 倍 周波數 時의 値을 意味한다. 이 式에서 $V_{1\lambda}/Z_{P\lambda}Z_{N\lambda}$ 로 分母, 分子를 각각 나누면,

$$I_{1\lambda} = 2 \frac{(V_{1\lambda}/Z_{P\lambda})(V_{1\lambda}/Z_{N\lambda})}{(V_{1\lambda}/Z_{P\lambda}) + (V_{1\lambda}/Z_{N\lambda})} \quad (29)$$

固定子電流 $I_{1\lambda}$ 는 $V_{1\lambda}/Z_{P\lambda}$, $V_{1\lambda}/Z_{N\lambda}$ 의 값에서 계산되고, $V_{1\lambda}/f_1 =$ 一定의 전원을 사용하면운 이것은 第(6)式, 第(7)³⁾式에서 다음과 같이 표시된다.

$$\frac{V_{1\lambda}}{Z_{P\lambda}} = \frac{A_\lambda + sB_\lambda}{C_\lambda + sD_\lambda} V_{1\lambda} \quad (30)$$

$$\frac{V_{1\lambda}}{Z_{N\lambda}} = \frac{A_\lambda + (2-s)B_\lambda}{C_\lambda + (2-s)D_\lambda} V_{1\lambda} \quad (31)$$

여기서, $A_\lambda, B_\lambda, C_\lambda, D_\lambda$ 는 第(8)圖 (a), (b)의 그것과同一值이고, 이 값들은 第(2·8)式에 表示하였다.

따라서, 第(31)式, 第(32)式의 빼터 軌跡는 同一圓이 되고, 圓周上에서 슬립 $s=1$ 을 境界로 $s < 1$ 이면 第(31)式의 軌跡이고, $s > 1$ 이면 第(32)式이 된다.

V_{12}/Z_{P2} 의 값은 基準周波數 時의 V_{11}/Z_{P1} 의 電流圓線圖에서 電流係數 圖表를 使用하면 얻어진다. 本 方法에서 求해진 λ 倍 周波數 時의 圓線圖를 第(9)圖와 같다 고 하면, 이때 $P_{\lambda s}$ 와 $P_{\lambda(2-s)}$ 로 運轉하고 있을 때의 特性은 아래와 같은 節次로 求해 진다.

(1) 固定子側特性: 第(9)圖에서 $O_\lambda, P_{\lambda s}, P_\lambda(2-s)$ 를
通過하는 圓弧를 그리고, $P_{\lambda s}, P_\lambda(2-s)$ 를連結하는直
線 2等分點 B 를 지나는 OB 의 延長이 $P_{\lambda s} \widehat{P_\lambda(2-s)}$ 와 만나
는點을 $D, DP_{\lambda(2-s)} = P_{\lambda s} E$ 되도록 E 를決定하면,

$$O_\lambda B = \frac{1}{2} \left| \vec{O}_\lambda P_{\lambda^s} + \vec{O}_\lambda P_{\lambda^{(2-s)}} \right| = \frac{1}{2} \left| \left(\frac{V_{1\lambda}}{Z_{P_\lambda}} + \frac{V_{1\lambda}}{Z_{N_\lambda}} \right) \right| \quad (32)$$

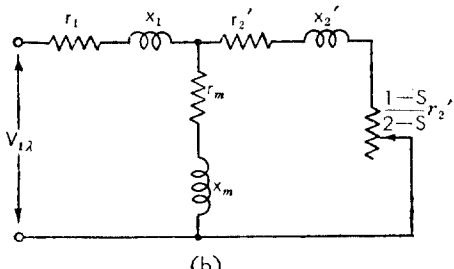
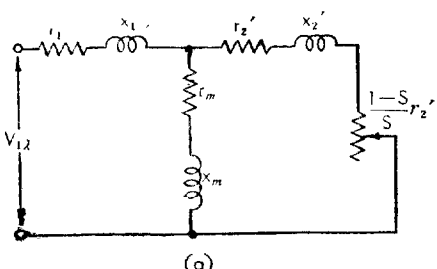


Fig. 8. Equivalent circuits representing the reaction
of (a) the forward and (b) the backward fields.

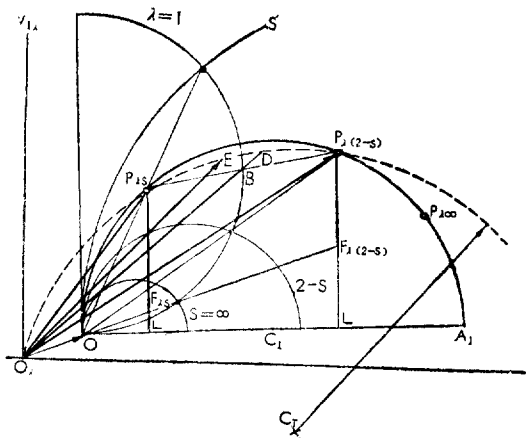


Fig. 9. Voltage and current diagram of the single phase induction motor

이 되므로, $I_{1\lambda}$ 의 絶對値는 第(29)式으로부터, 다음과
같이 되다.

$$|I_{12}| = \frac{(\vec{O_A}P_{\lambda s})(\vec{O_A}P_{\lambda(2-s)})}{\vec{O_\lambda B}} \\ = \frac{|(\vec{O_A}O + \vec{O_A}P_s)(\vec{O_A}O + \vec{O}P_{\lambda(2-s)})|}{|(\vec{O_A}O + \vec{O}B)|} \quad (33)$$

(2) 回轉子側 特性: 電動機에 平衡電壓 V_λ 를 걸었을 때 正相 토크를 $T_{P\lambda}$ 라고 하면, 正方向 토크 T_P 는

$$T_{f\lambda} = T_{P\lambda} \left| \frac{I_{P\lambda} Z_{P\lambda}}{V_{1\lambda}} \right|^2 \\ = T_{P\lambda} \left| \frac{I_{1\lambda}/2}{V_{1\lambda}/Z_{P\lambda}} \right|^2 \quad (34)$$

이고, 逆方向 토오크는

$$T_{b\lambda} = T_{N\lambda} \left| -\frac{I_{1\lambda}/2}{V_{11}/Z_{N\lambda}^2} \right|_\lambda \quad (35)$$

이다. 그런데, 第(9)圖에 있어 P_{λ^s} , $P_{\lambda^{(2-s)}}$ 에서 OA_1 에
내린 垂線과 슬립 $s \rightarrow \infty$ 線과의 交點을 各各 $F_{\lambda^s}, F_{\lambda^{(2-s)}}$
라 하면,

$$\left. \begin{aligned} T_{P\lambda} &= \frac{2V_{11}}{\omega_1} \overline{P_\lambda F_\lambda}(N, m) \\ T_{N\lambda} &= \frac{2V_{11}}{\omega_1} \overline{P_{\lambda(2-s)} F_{\lambda(2-s)}}(N, m) \end{aligned} \right\} \quad (36)$$

이 되다. 따라서 第(34), (35)式의 圖式은 다음과 같다.

$$T_{f\lambda} = -\frac{1}{2} - \frac{V_{11}}{V_{00}} \bar{P}_{\lambda^s} \bar{F}_{\lambda^s} \left[\frac{\bar{O}_\lambda \bar{P}_{\lambda(2-s)}}{\bar{O}_s \bar{B}} \right] \quad (37)$$

$$T_{b\lambda} = -\frac{1}{2} - \frac{V_{11}}{\omega_1} P_{\lambda(2-s)} \overline{F}_{\lambda(2-s)} \left[\frac{\overline{O_\lambda P_{\lambda s}}}{O_\lambda B} \right]^2 \quad (38)$$

따라서 有効 토옹크 T_1 는 다음과 같다.

$$T_i \equiv T_{fi} - T_{bi} \quad (39)$$

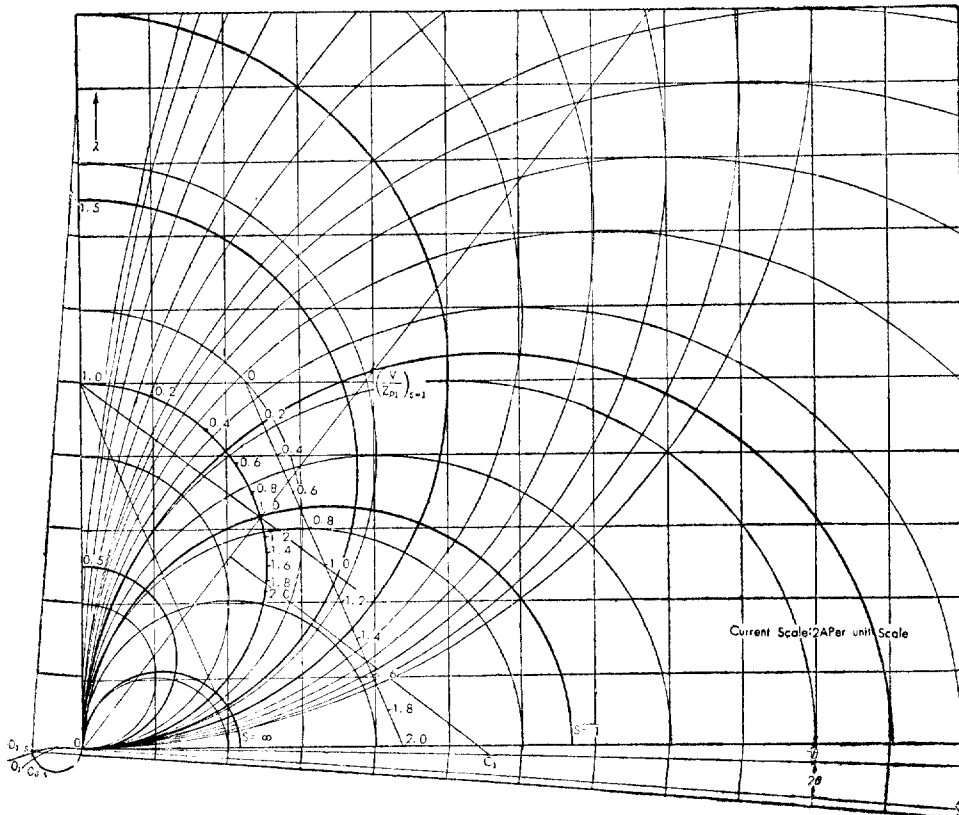


Fig. 10. Circle diagram with adjustable frequency for 4 pole, 60c/s, 1/4hp single phase induction motor.

이상과 같이 λ 倍 周波數 時의 正相, 逆相分 電流圓線

$$r_m = 13.25 \quad x_m = 66.8$$

器에 의해 固定子電流, 토오크를 求하는 式을 세웠다.

V-2 圖式 算定值와 等式 計算値와의 比較

純單相 誘導電動機의 圖式算定法의 可能性을 뒷 빙침하기 위하여, 1/4hp 60c/s, 4 極[GH, 5KH 37KC 102]의 単相 誘導電動機를 供試機로 사용하여, 基準 周波數(60 c/s)에서 拘束試驗과 無負荷試驗을 實施한 結果

$$(I_{11})_{s=1} = (V_{11}/Z_{P1})_{s=1} \\ = 10.24 - j8.52 \text{ (A)}$$

$$(I_{11})_{s=0} = 0.61 - j2.40 \text{ (A)}$$

를 얻고, 正相, 逆相分 電流圓線圖를 그리기 위하여 第 (3·16)式으로부터

$$0.61 - j2.40 = 2 \cdot \frac{(V_{11}/Z_{P1})_{s=0}(V_{11}/Z_{P1})_{s=1}}{(V_{11}/Z_{P1})_{s=0} + (V_{11}/Z_{P1})_{s=1}}$$

$$(V_{11}/Z_{P1})_{s=0} = 0.42 - j1.17$$

이 된다. 따라서, $(V_{11}/Z_{P1})_{s=1}$, $(V_{11}/Z_{P1})_{s=0}$ 에서 第 (10)圖의 定數는 다음과 같다.

$$r_1 = 2.02 \quad r_2' = 4.12$$

$$x_1 = 2.32 \quad x_2' = 2.32$$

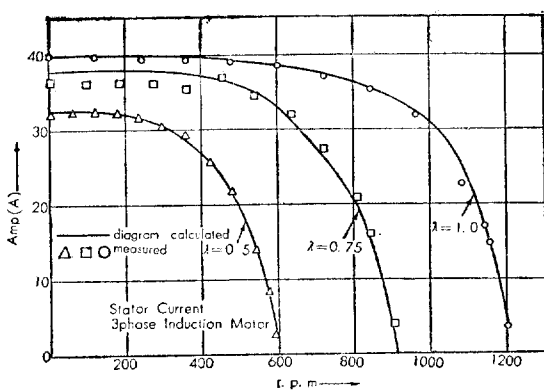


Fig. 11. Comparison of speed-current values calculated from each method (from Fig. 3-8).

傾斜角은 $2^{\circ}24'$ 이다. 이상의 數值에 의하여 基準周波數에 대한 正相, 逆相 電流線圖를 構成한 後, 이 위에

電流係數 圖表를 重疊한 것을 第(10)圖에 表示하였다.

圖表의 슬립線의 決定 方法은 (II)에서 이미 說明하였다.

이때 必要한 슬립線值는

$$y]_{s=1} = \frac{2.02}{4.64} + \frac{4.12}{4.64} \cdot \frac{1}{s} = 1.325$$

$$y]_{s=\infty} = \frac{2.02}{4.64} + \frac{4.12}{4.64} \cdot \frac{1}{2-s} = 0.437$$

$$y]_{s=2} = 0.881$$

이 되고, 이를 第(10)圖에 表示하였다.

電流圓線圖에서 얻은 電流值 및 速度一托오크 值와 單相 誘導電機 等式 및 實驗에 의해 얻은 該當值을 曲線으로 表示하면, 第(11), (12)圖와 같다.

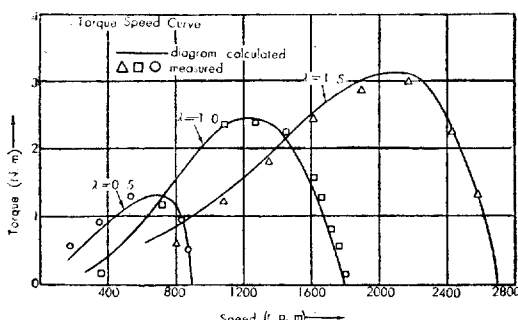


Fig. 12. Comparison of speed-torque values calculated from each method (from Fig. 10).

VI. 結論

以上의 理論展開와 實驗結果, 本 方法은

(1) 電流比式을 利用하였기 때문에 簡易하면서 諸特性이 高精度로 求められる.

(2) 單位圖表에 의해 圓線圖가 構成되므로, 作圖가 簡便하고, 使用過程에 있어서의 誤差가 생기는 機會가 거의 없다.

(3) 3相, 單相, 及 容量에 關係없이 이 圖表가 適用될 수 있다(미리 圖表을 作成하여둠).

(4) 可變周波數 圓線圖上에서 어떠한 周波數, 어떠한 슬립에서도 그 特性을 얻을 수 있다.

(5) 回轉子側의 特性은 定量的 定性的의 解析이 可能하다.

(6) 單相 誘導電動機의 경우에는 等式 計算法에 依한 것에 比해 圖式算定에 必要한 計算過程이 훨씬 簡易하다.

本方法은 以上列舉한여러 利點을 가지고 있으므로 앞으로 問題가 될 可變周波數 電動機의 適用性 決定, 電動力 應用, 電動機 速度制御系統 및 電動機設計 條件의 決定에 有効하게 活用된다고 하면 筆者로서는 大端히 滿足하는 바이다.

끝으로 本研究에 大量의 力을 하여주신 本大學 電氣工學科 教授諸位 및 實驗과 數值計算을 도와준 韓松燁 專任講師, 李炳武 助教에게 感謝를 表하며, 特別히 大量의 助言, 協助를 하여주신 朴永文 助教授 李承院 教授에게 深甚한 謝意를 표시하는 바이다.

(1969년 6월 15일 받음)

參考文獻

- (1) Bradley, D. A.; *Adjustable-frequency invertors and Their application to variable-speed drive*' Proc. IEE, Vol. III, No. 11, pp.1883—1846, 1964.
- (2) 竹内: 3相 Bridge型 SCR invertor と 制御하는 3相誘導電動機의 特性, 日本電氣學會誌 Vol. 88—2, No. 953 2月 1968.
- (3) Jones R.W; *Electric control systems*, Book pp. 74—75 John Wiley & Sons, Inc.
- (4) Michael, L.G; *The Exact circle diagram of the Polyphase Induction Motor*' Electric Machine Vol. II, pp. 509—519, van nostrand Inc. Book
- (5) Michael, L.G; *Alternating current Machine*, Book pp. 443—449. van nostrand Inc.
- (6) KS. C. 4201; 3相誘導電動機의 特性算定法, 社團法人 韓國規格協會
- (7) Fitzgerald & Kingsley; *Electric Machinery*, Book pp. 483—488.
- (8) 林清嗣; 單相誘導電動機의 等價回路와 圖式特性, 算定法, 日本電氣學會雜誌 Vol. 80, 1960, pp. 1244—1251, 1960.
- (9) 7의 文獻 pp. 489—490.